

신호 및 시스템

Project #2

전기전자공학부 2018142023 조성민

1. Properties of Fourier Transform

- 1) Plot the cosine signal x_1 with $f_1 = 0.5\text{Hz}$ and the cosine signal x_2 with $f_2 = 10\text{Hz}$ in both time and frequency domain.
- 2) Prove the properties of Fourier transform using the x_1 and x_2 signal in time and frequency domain. You can choose any constant value.

i. Linearity

$$ax_1(t) + bx_2(t) \leftrightarrow aX_1(f) + bX_2(f)$$

ii. Scale Change

$$x_1(\alpha t) \leftrightarrow \frac{1}{|\alpha|} X_1\left(\frac{f}{\alpha}\right)$$

1-1

<코드>

```
fs=1000; % Sampling frequency 설정
t1=-5:1/fs:5; % x1(t)의 범위
f1=0.5; % f1=0.5Hz 설정
L1=length(t1); % x1(t) 범위의 길이
x1=cos(2*pi*f1*t1); % x1(t) 설정

X1=fft(x1)/L1; % x1(t)의 FT 및 Normalization
P1=abs(fftshift(X1)); % X1(f) 재배열
f1=linspace(-fs/2, fs/2, L1); % P1(f)의 범위

figure(1) % x1(t) 그래프
plot(t1,x1)

figure(2) % P1(f) 그래프
plot(f1,P1)
xlim([-15 15]) % 그래프 x축 표시 제한
ylim([0 1]) % 그래프 y축 표시 제한

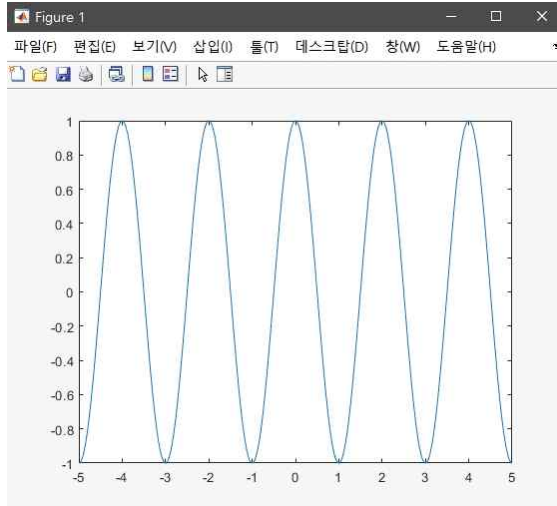
t2=-0.25:1/fs:0.25; % x2(t)의 범위
f2=10; % f2=10Hz 설정
L2=length(t2); % x2(t) 범위의 길이
x2=cos(2*pi*f2*t2); % x2(t) 설정

X2=fft(x2)/L2; % x2(t)의 FT 및 Normalization
P2=abs(fftshift(X2)); % X2(f) 재배열
f2=linspace(-fs/2, fs/2, L2); % P2(f)의 범위

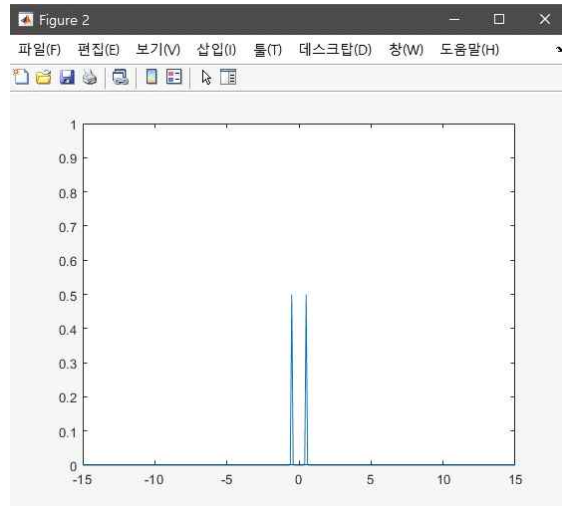
figure(3) % x2(t) 그래프
plot(t2,x2)

figure(4) % P2(f) 그래프
plot(f2,P2)
xlim([-300 300]) % 그래프 x축 표시 제한
ylim([0 1]) % 그래프 y축 표시 제한
```

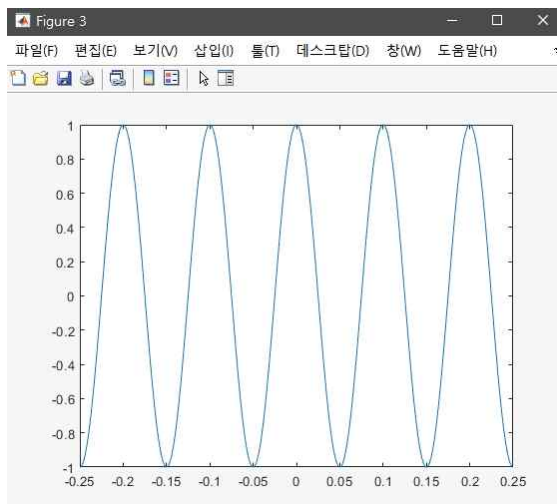
<결과>



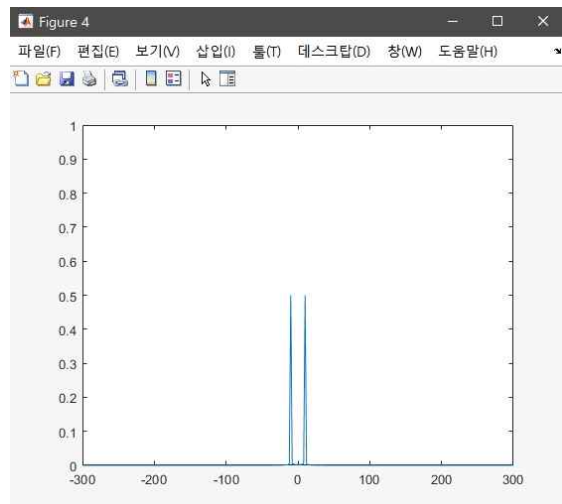
$$x_1(t) = \cos(2\pi f_1 t)$$



$$X_1(f) = \frac{1}{2}\delta(f - f_1) + \frac{1}{2}\delta(f + f_1)$$



$$x_2(t) = \cos(2\pi f_2 t)$$



$$X_2(f) = \frac{1}{2}\delta(f - f_2) + \frac{1}{2}\delta(f + f_2)$$

-우선 모든 문제에서 sampling frequency를 넉넉하게 잡았다.

-Matlab 기능 중 고속 푸리에 변환 함수 fft()를 사용했는데, 이 함수 자체로는 원하는 주파수에서 원하는 값을 얻을 수가 없어 normalization과 주파수의 재배열 과정을 거쳤다.

-Fourier Transform Theorems 중 modulation 이론이 있는데, 식

$x(t)\cos(2\pi f_0 t) \leftrightarrow \frac{1}{2}X(f - f_0) + \frac{1}{2}X(f + f_0)$ 에서 $x(t) = 1$ 이라고 설정하면 $1 \leftrightarrow \delta(f)$ 관계를 통해 $\cos(2\pi f_0 t) = \frac{1}{2}\delta(f - f_0) + \frac{1}{2}\delta(f + f_0)$ 임을 알 수 있고, matlab을 통해 f_1, f_2 에 맞게 잘 구현했음을 확인할 수 있다.

1-2-Linearity

<코드>

```

fs=1000; % Sampling frequency 설정
a=1; % 상수a=1 설정
b=2; % 상수b=2 설정
t=-5:1/fs:5; % x1(t), x2(t)의 범위
f1=0.5; % f1=0.5Hz 설정
f2=10; % f2=10Hz 설정
L=length(t); % x1(t), x2(t) 범위의 길이
x1=cos(2*pi*f1*t); % x1(t) 설정
x2=cos(2*pi*f2*t); % x2(t) 설정
x=a*x1+b*x2; % x(t)=ax1(t)+bx2(t) 설정

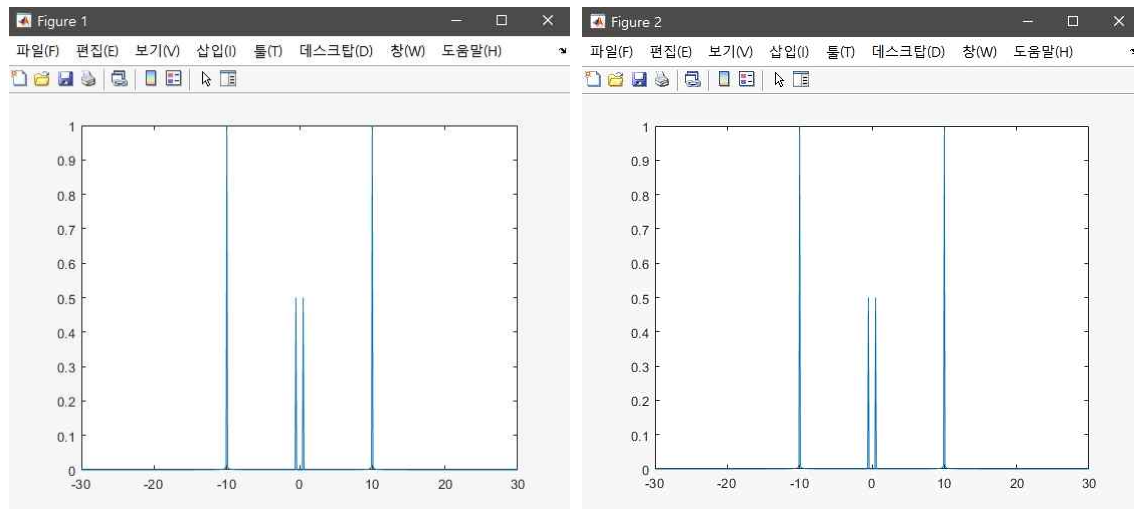
X1=fft(x1)/L; % x1(t)의 FT 및 Normalization
P1=abs(fftshift(X1)); % X1(f) 재배열
X2=fft(x2)/L; % x2(t)의 FT 및 Normalization
P2=abs(fftshift(X2)); % X2(f) 재배열
X=fft(x)/L; % x(t)의 FT 및 Normalization
PX=abs(fftshift(X)); % X(f) 재배열
f=linspace(-fs/2, fs/2, L); % P1(f), P2(f), PX(f)의 범위

figure(1) % PX(f) 그래프
plot(f,PX)
xlim([-30 30]) % 그래프 x축 표시 제한
ylim([0 1]) % 그래프 y축 표시 제한

figure(2) % aP1(f)+bP2(f) 그래프
plot(f,a*P1+b*P2)
xlim([-30 30]) % 그래프 x축 표시 제한
ylim([0 1]) % 그래프 y축 표시 제한

```

<결과>



$$ax_1(t) + bx_2(t) FT$$

$$aX_1(f) + bX_2(f)$$

-Fourier Transform Theorems 중 linearity 이론은 homogeneity와 additivity, 즉 superposition을 만족한다.

- $ax_1(t) + bx_2(t)$ 함수를 만들고 푸리에 변환을 한 것과 $x_1(t) \leftrightarrow X_1(f)$, $x_2(t) \leftrightarrow X_2(f)$ 과정을 거친 후 각각 a와 b를 곱하고 더한 것이 동일한 그래프를 나타내는 것을 보아 matlab으로 linearity 이론이 입증되었음을 알 수 있다.

1-2-Scale Change

<코드>

```

fs1=1000; % Sampling frequency 설정1
fs2=100; % Sampling frequency 설정2
a=10; % 상수 a=10 설정
f=0.5; % f=0.5Hz 설정
t1=-5:1/fs1:5; % x(t)의 범위
t2=-5:1/fs2:5; % xa(t)의 범위
L1=length(t1); % x(t) 범위의 길이
L2=length(t2); % xa(t) 범위의 길이
x=cos(2*pi*f*t1); % x(t) 설정
xa=cos(2*pi*a*f*t2); % xa(t) 설정

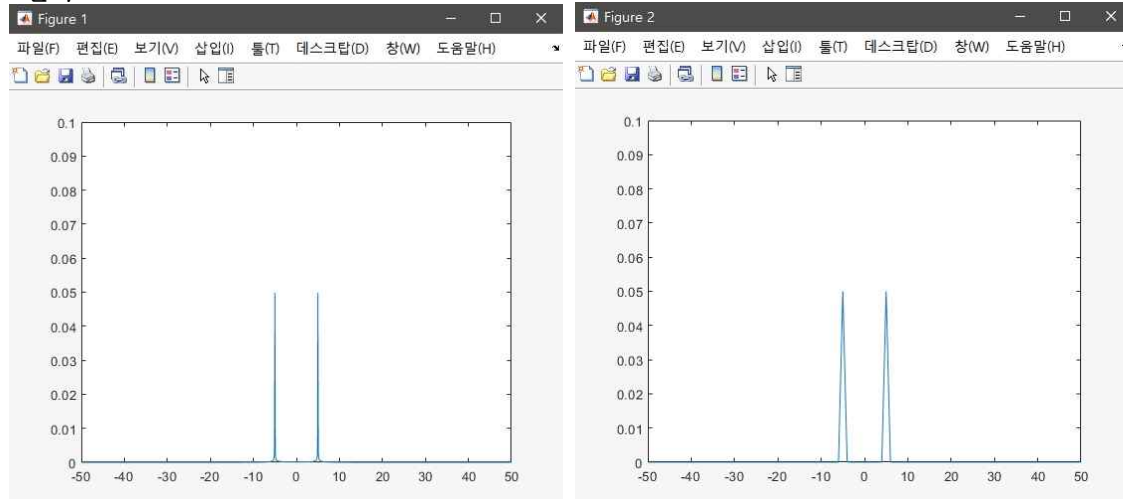
X=fft(x)./L1; % x(t)의 FT 및 Normalization
PX=abs(fftshift(X)); % X(f) 재배열
f1=linspace(-fs1/2, fs1/2, L1); % PX(f)의 범위
XA=fft(xa)./L1; % xa(t)의 FT 및 Normalization
PXA=abs(fftshift(XA)); % XA(f) 재배열
f2=linspace(-fs2/2, fs2/2, L2); % PXA(f)의 범위

figure(1) % PXA(f) 그래프
plot(f2,PXA)
xlim([-50 50]) % 그래프 x축 표시 제한
ylim([0 0.1]) % 그래프 y축 표시 제한

figure(2) % PX(f/a)/a 그래프
plot(f1.*a,PX./a)
xlim([-50 50]) % 그래프 x축 표시 제한
ylim([0 0.1]) % 그래프 y축 표시 제한

```

<결과>



$$x_1(at) FT$$

$$\frac{1}{|a|} X_1\left(\frac{f}{a}\right)$$

-Sampling frequency를 2개로 설정한 이유는 $x(t)$ 가 $x(at)$ 로 변함에 따라 t축의 간격 또한 같이 바꾸고 동일한 frequency에서 같은 값을 갖도록 하기 위함이다.

- $x_1(at)$ 함수를 만들고 푸리에 변환을 한 것과 $x_1(t) \leftrightarrow X_1(f)$ 과정을 거친 후 a를 f축에 곱하고 $X_1(\frac{f}{a})$ 에 나눈 것과 동일한 그래프를 나타내는 것을 보아 matlab으로 scale change 이론이 입증되었음을 알 수 있다.

2. Fourier Transform of Sinc Function

- 1) Plot the $x(t) = \text{sinc}(t)$ in both time and frequency domain. Provide a discussion on the result.
- 2) Prove the properties of Fourier transform using the x signal in time and frequency domain. You can choose any constant value.

i. Modulation ($x(t) = \text{sinc}(t)$)

$$x(t)\cos(2\pi f_0 t) \leftrightarrow \frac{1}{2}X(f-f_0) + \frac{1}{2}X(f+f_0)$$

ii. Scale Change

$$x(at) \leftrightarrow \frac{1}{|a|}X\left(\frac{f}{a}\right)$$

2-1

<코드>

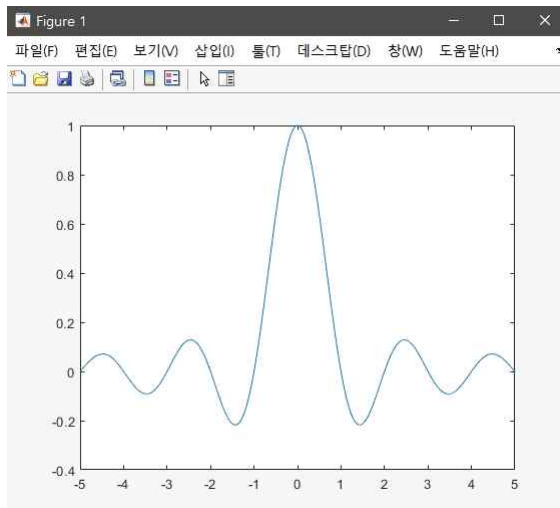
```
fs=1000; % Sampling frequency 설정
t=-5:1/fs:5; % x(t)의 범위
L=length(t); % x(t) 범위의 길이
x=sinc(t); % x(t) 설정

X=fft(x)./fs; % x(t)의 FT 및 Normalization
P=abs(fftshift(X)); % X(f) 재배열
f=linspace(-fs/2, fs/2, L); % P(f)의 범위

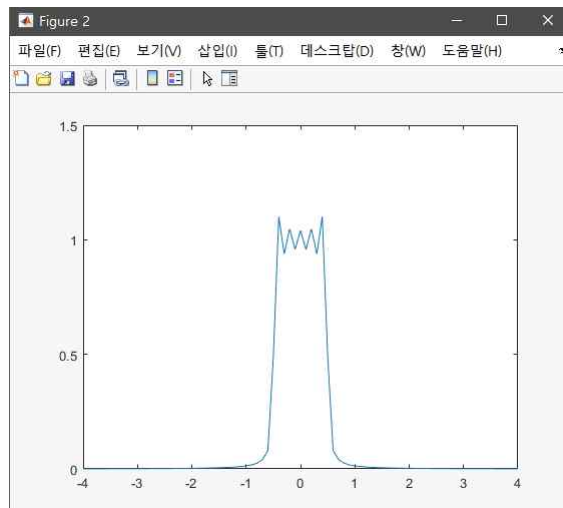
figure(1) % x(t) 그래프
plot(t,x)

figure(2) % P(f) 그래프
plot(f,P)
xlim([-4 4]) % 그래프 x축 표시 제한
ylim([0 1.5]) % 그래프 y축 표시 제한
```

<결과>



$$x(t) = \text{sinc}(t)$$



$$X(f) = \Pi(f)$$

-푸리에 변환 중 $\text{sinc}(t) \leftrightarrow \Pi(f)$ 관계가 성립하는데, 불연속 신호에서 발생하는 노이즈 현상인 Gibbs phenomenon으로 인해 -1과 1 사이에서 불안정한 1값을 가지는 것을 확인할 수 있다.

2-2-Modulation

<코드>

```

fs=1000; % Sampling frequency 설정
f0=10; % f0=10Hz 설정
t=-5:1/fs:5; % x(t)의 범위
L=length(t); % x(t) 범위의 길이
x=sinc(t); % x(t) 설정
xc=x.*cos(2*pi*f0*t); % xc(t) 설정

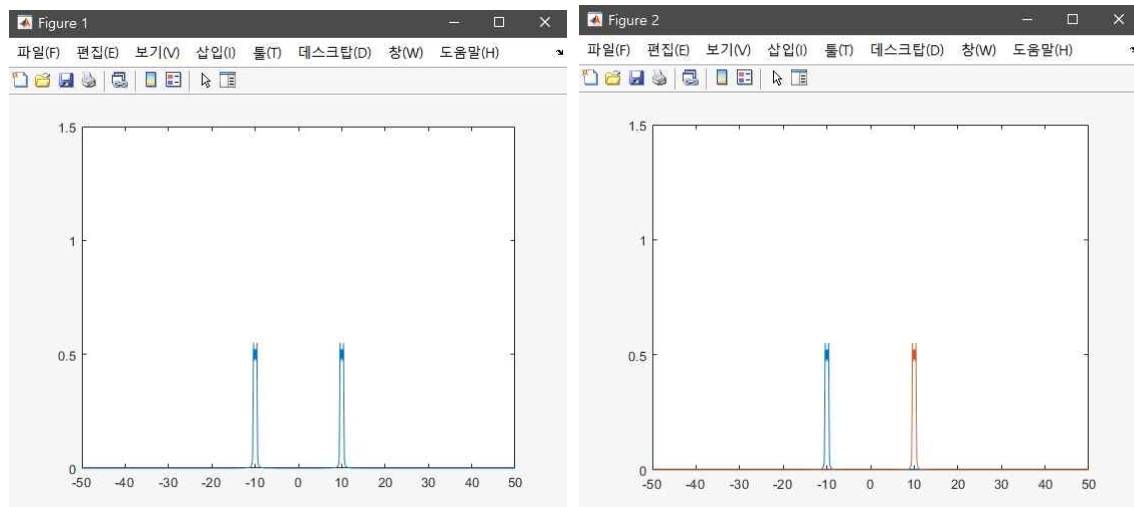
X=fft(x)./fs; % x(t)의 FT 및 Normalization
P=abs(fftshift(X)); % X(f) 재배열
XC=fft(xc)./fs; % xc(t)의 FT 및 Normalization
PC=abs(fftshift(XC)); % XC(f) 재배열
f=linspace(-fs/2, fs/2, L); % P(f), PC(f)의 범위

figure(1) % PC(f) 그래프
plot(f,PC)
xlim([-50 50]) % 그래프 x축 표시 제한
ylim([0 1.5]) % 그래프 y축 표시 제한

figure(2) % P(f-f0)/2+P(f+f0)/2 그래프
plot(f-f0,P./2) % P(f-f0)/2
hold on % P(f+f0)/2
plot(f+f0,P./2) % 그래프 x축 표시 제한
xlim([-50 50]) % 그래프 y축 표시 제한
ylim([0 1.5])

```

<결과>



$$x(t)\cos(2\pi f_0 t) FT$$

$$\frac{1}{2}X(f-f_0) + \frac{1}{2}X(f+f_0)$$

-Euler's equation으로 식 $\cos(2\pi f_0 t) = \frac{1}{2}e^{j(2\pi f_0 t)} + \frac{1}{2}e^{-j(2\pi f_0 t)}$ 이 성립한다.

- $x(t)\cos(2\pi f_0 t)$ 함수를 만들고 푸리에 변환을 한 것과 $x(t) \leftrightarrow X(f)$ 과정을 거친 후 수동으로 f축에 f_0 를 덧셈, 뺄셈하고 2로 나눈 것이 동일한 그래프를 나타내는 것을 보아 matlab으로 modulation 이론이 입증되었음을 알 수 있다.

2-2-Scale Change

<코드>

```

fs1=1000; % Sampling frequency 설정1
fs2=500; % Sampling frequency 설정2
a=2; % 상수 a=2 설정
t1=-5:1/fs1:5; % x(t)의 범위
t2=-5:1/fs2:5; % xa(t)의 범위
L1=length(t1); % x(t) 범위의 길이
L2=length(t2); % xa(t) 범위의 길이
x=sinc(t1); % x(t) 설정
xa=sinc(a*t2); % xa(t) 설정

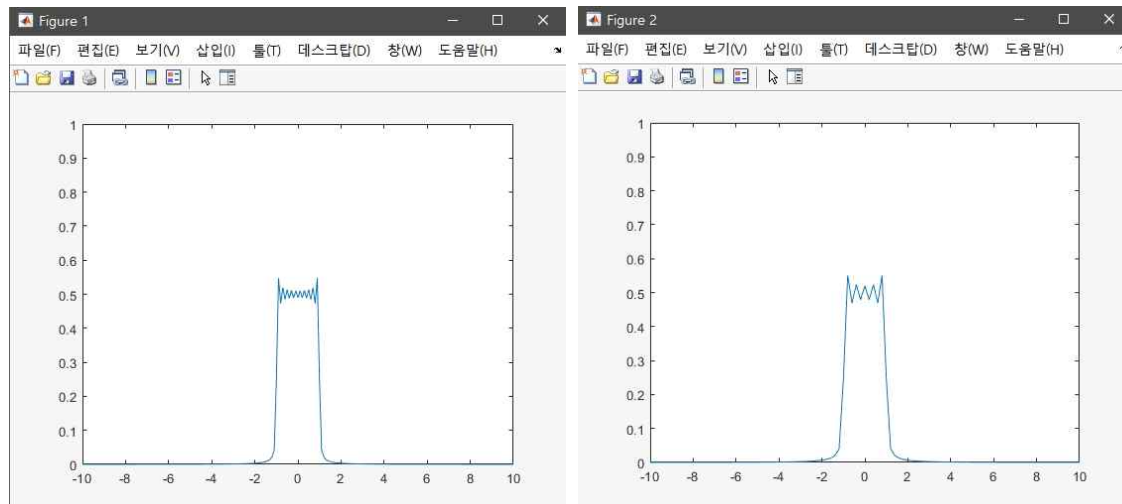
X=fft(x)./fs1; % x(t)의 FT 및 Normalization
PX=abs(fftshift(X)); % X(f) 재배열
f1=linspace(-fs1/2, fs1/2, L1); % PX(f)의 범위
XA=fft(xa)./fs2; % xa(t)의 FT 및 Normalization
PXA=abs(fftshift(XA)); % XA(f) 재배열
f2=linspace(-fs2/2, fs2/2, L2); % PXA(f)의 범위

figure(1) % PXA(f) 그래프
plot(f2,PXA)
xlim([-10 10]) % 그래프 x축 표시 제한
ylim([0 1]) % 그래프 y축 표시 제한

figure(2) % PX(f/a)/a 그래프
plot(f1.*a,PX./a) % 그래프 x축 표시 제한
xlim([-10 10]) % 그래프 x축 표시 제한
ylim([0 1]) % 그래프 y축 표시 제한

```

<결과>



$$x(at) FT$$

$$\frac{1}{|a|} X\left(\frac{f}{a}\right)$$

-문제 1-2에서 matlab으로 입증했던 scale change 이론과 동일하게, $x(at)$ 함수를 만들고 푸리에 변환을 한 것과 $x(t) \leftrightarrow X(f)$ 과정을 거친 후 a 를 f 축에 곱하고 $X(\frac{f}{a})$ 에 나눈 것과 동일한 그래프를 나타내는 것을 보아 matlab으로 scale change 이론이 입증되었음을 알 수 있다.

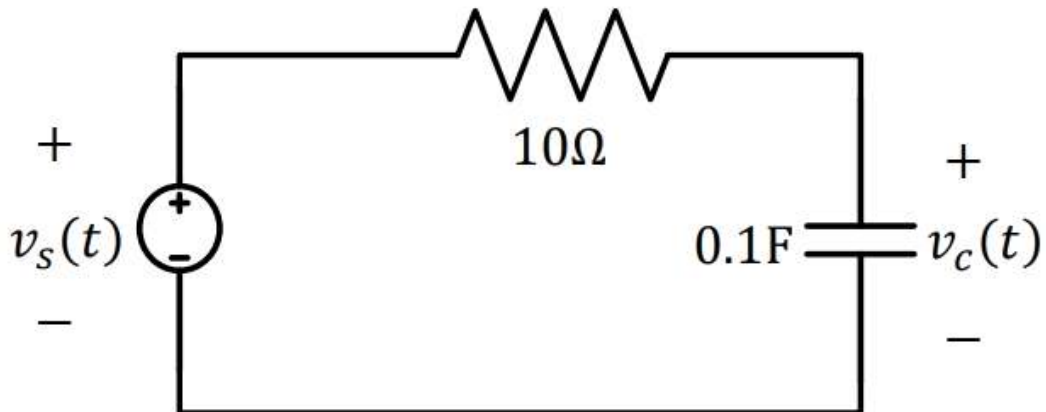
3. Laplace Transform

1) Show and prove these transform pairs using MATLAB.

i. $u(t) \leftrightarrow 1/s$

ii. $y(t) = [e^t + e^{-5t} - 2 \cos(2t)]u(t) \leftrightarrow Y(s) = \frac{-4s^2 + 18s + 16}{s^4 + 4s^3 - s^2 + 16s - 20}$

2) Consider the RC filter shown in below.



- Find and plot the output voltage $v_c(t)$ for $t \geq 0$, when input signal $v_s(t) = u(t)$.
- Find and plot the transfer function in time domain and the bode plot.
- Plot the pole-zero plots and determine whether the system is stable, marginally stable, or unstable.

3-1-1

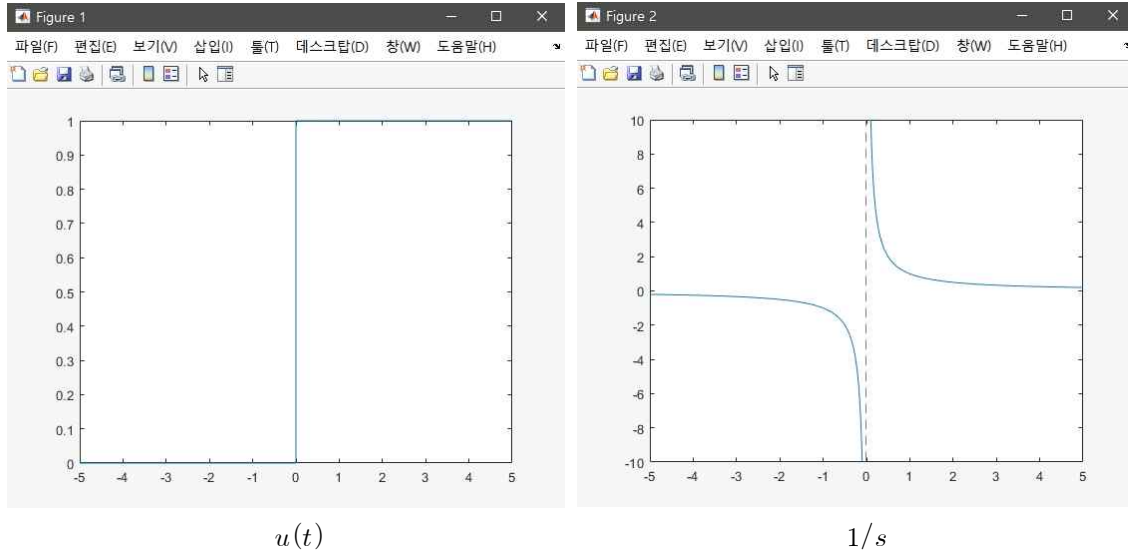
<코드>

```
syms t
u=heaviside(t); % u(t) 설정
U=laplace(u); % U(f) 설정

figure(1) % u(t) 그래프
fplot(u)

figure(2) % U(f) 그래프
fplot(U)
```


<결과 & command window>



```
>> syms t
>> u=heaviside(t);
>> laplace(u)

ans =
1/s
```

command window

$$\mathcal{L}\{u(t)\} = \int_{-\infty}^{\infty} u(t) e^{-st} dt = \int_0^{\infty} e^{-st} dt = \left[-\frac{e^{-st}}{s} \right]_0^{\infty} = \frac{1}{s}$$

-Command window에 나타난 식과 손으로 직접 유도한 식이 동일하므로 $u(t) \leftrightarrow 1/s$ 관계가 입증되었음을 알 수 있다.

3-1-2

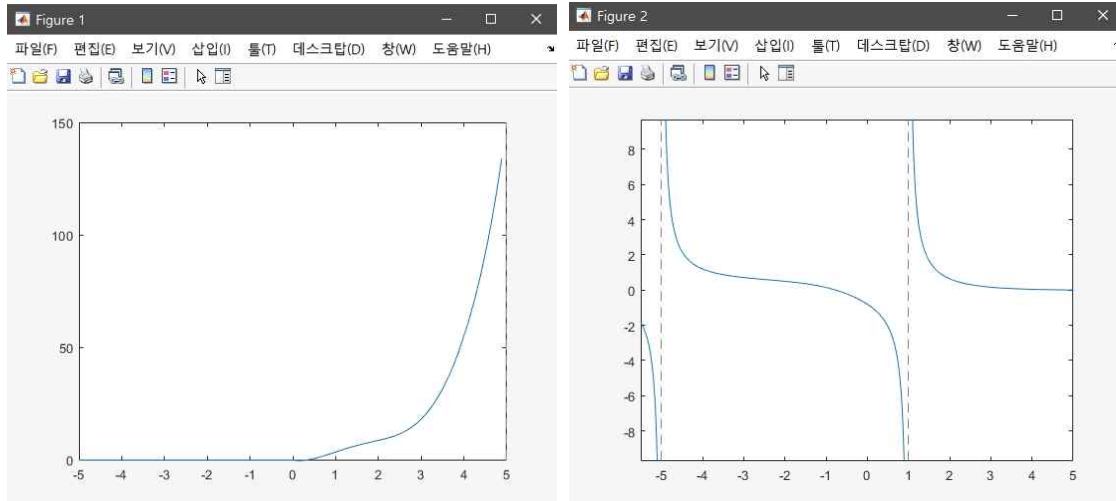
<코드>

```
syms t
y=(exp(t)+exp(-5*t)-2*cos(2*t))*heaviside(t); % y(t) 설정
Y=laplace(y); % Y(f) 설정

figure(1) % y(t) 그래프
fplot(y)

figure(2) % Y(f) 그래프
fplot(Y)
```

<결과 & command window>



$$y(t) = [e^t + e^{-5t} - 2\cos(2t)]u(t)$$

$$Y(s) = \frac{-4s^2 + 18s + 16}{s^4 + 4s^3 - s^2 + 16s - 20}$$

```
>> syms t
>> y=(exp(t)+exp(-5*t)-2*cos(2*t))*heaviside(t);
>> laplace(y)
```

ans =

$$1/(s - 1) + 1/(s + 5) - (2*s)/(s^2 + 4)$$

command window

$$\begin{aligned} y(t) &= [e^t + e^{-5t} - 2\cos(2t)]u(t) \\ \mathcal{L}\{y(t)\} &= \int_0^\infty e^{(1-s)t} dt + \int_0^\infty e^{(-5-s)t} dt - \left\{ \int_0^\infty e^{(j2-s)t} dt + \int_0^\infty e^{(-j2-s)t} dt \right\} \\ &= \left[\frac{e^{(1-s)t}}{1-s} \right]_0^\infty + \left[\frac{e^{(-5-s)t}}{-5-s} \right]_0^\infty - \left\{ \left[\frac{e^{(j2-s)t}}{j2-s} \right]_0^\infty + \left[\frac{e^{(-j2-s)t}}{-j2-s} \right]_0^\infty \right\} \\ &= \frac{1}{s-1} + \frac{1}{s+5} - \left\{ -\frac{1}{j2-s} + \frac{1}{j2+s} \right\} \\ &= \frac{1}{s-1} + \frac{1}{s+5} - \frac{2s}{s^2+4} \end{aligned}$$

-Command window에 나타난 식과 손으로 직접 유도한 식이 동일하므로

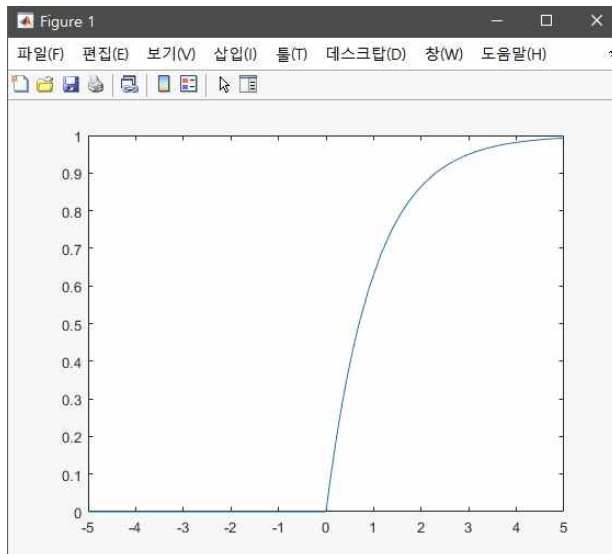
$[e^t + e^{-5t} - 2\cos(2t)]u(t) \leftrightarrow \frac{-4s^2 + 18s + 16}{s^4 + 4s^3 - s^2 + 16s - 20} = \frac{1}{s-1} + \frac{1}{s+5} - \frac{2s}{s^2+4}$ 관계가 입증되었음을 확인할 수 있다.

3-2-1

<코드>

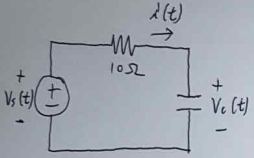
```
syms t
vc=(1-exp(-t))*heaviside(t); % vc(t) 설정
figure(1) % vc(t) 그래프
fplot(vc)
```

<결과>



$$v_c(t) = (1 - e^{-t})u(t)$$

$-v_c(t)$ 를 유도하는 과정은 아래와 같다.

$t \geq 0$


$$i(t) = 0.1 \frac{dV_c(t)}{dt}$$

$$V_s(t) = 10i(t) + V_c(t)$$

$$= \frac{dV_c(t)}{dt} + V_c(t) \leftrightarrow V_s(s) = sV_c(s) - V_c(0^-) + V_c(s)$$

$t < 0$
 $V_s(0^-) = V_c(0^-) = 0 \quad (\because V_s(t) = u(t))$

$\therefore V_s(s) = (s+1)V_c(s) = \frac{1}{s}$

$$V_c(s) = \frac{1}{s(s+1)} = \frac{1}{s} - \frac{1}{s+1}$$

$$\updownarrow$$

$$V_c(t) = (1 - e^{-t})u(t)$$

3-2-2

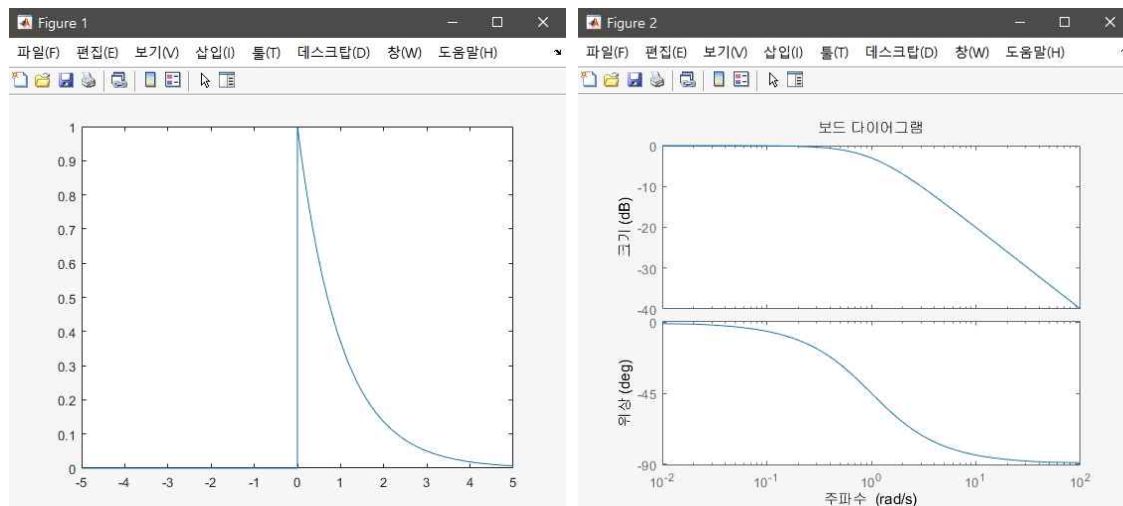
<코드>

```
syms t
h=exp(-t)*heaviside(t);      % h(t) 설정
H=tf([1],[1 1]);             % H(s) 설정

figure(1)                     % h(t) 그래프
fplot(h)

figure(2)                     % H(s) bode plot
bode(H)
```

<결과>



$$h(t) = e^{-t} u(t)$$

$$H(s) = \frac{1}{s+1}$$

$$-H(s) = \frac{V_c(s)}{V_s(s)} = \frac{\frac{1}{s} - \frac{1}{s+1}}{\frac{1}{s}} = 1 - \frac{s}{s+1} = \frac{1}{s+1}$$

$$-v_c(t) = v_s(t) * h(t) \leftrightarrow V_c(s) = V_s(s)H(s) \quad (\text{LT convolution 이론})$$

$$-H(s) = \frac{1}{s+1} \leftrightarrow h(t) = e^{-t} u(t) \quad (\because \text{LT } s \text{ shift 이론})$$

-Magnitude Plot: $\omega = 1(\text{rad/s})$ 에서 pole값을 가지며 크기가 -3dB 로 줄어든다.

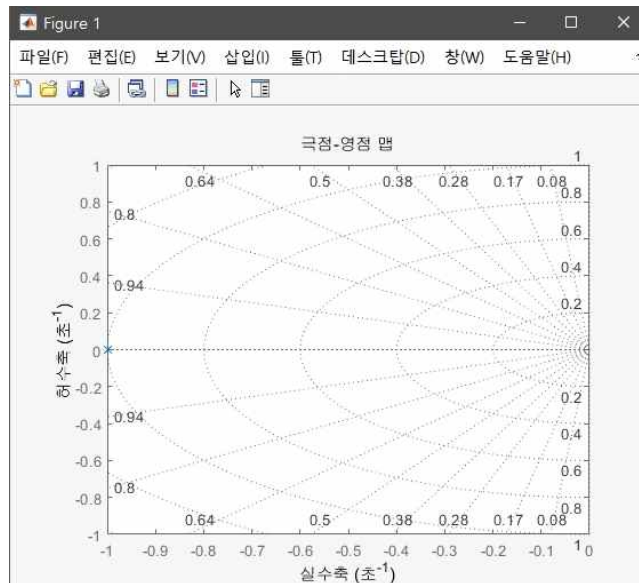
-Phase Plot: $\omega = 1(\text{rad/s})$ 를 중심으로 0° 부터 90° 까지 octave당 45° 씩 감소한다.

3-2-3

<코드>

```
H=tf([1],[1 1]);    % H(s)=1/(s+1) 설정
pzmap(H)            % H(s) pole-zero plot
grid on
```

<결과>



-The system is defined by the transfer function $H(s) = \frac{1}{s+1}$.

-Pole이 LHP(Left Half Plane)인 $s=-1$ 에 위치해 있으므로 stable이다.

4. Sampling Theorem and Nyquist Rate

Given sinusoidal function $myfunc(t)$, which has three different frequency components cosine function.

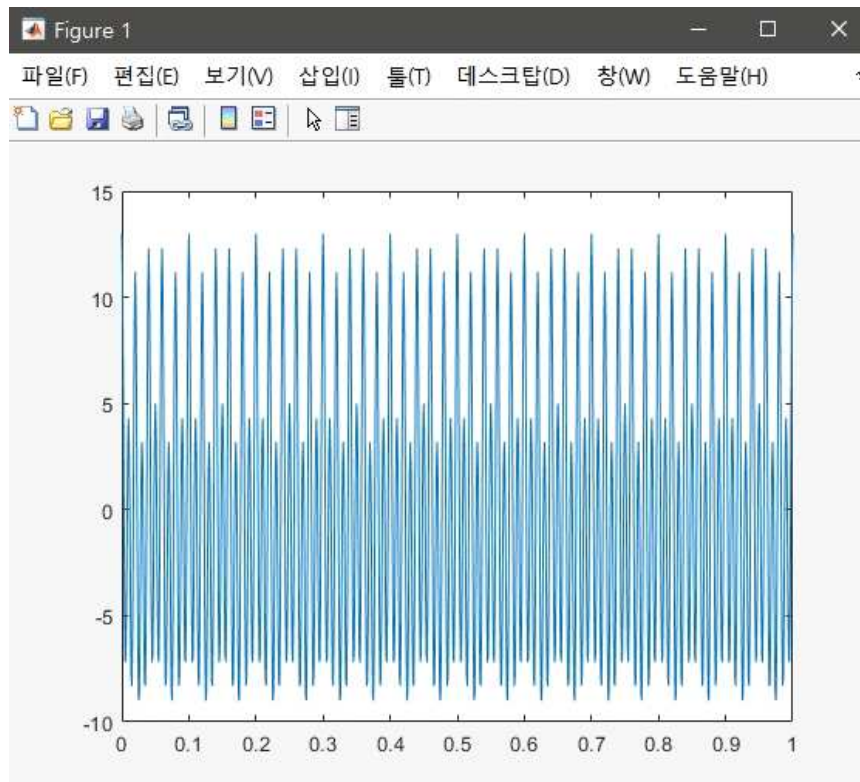
- 1) Plot the signal in time domain. ($x(t) = myfunc(t)$)
- 2) Plot the Fourier transform of your own function. $X(f)$, in frequency domain. And you must analyze it using mathematical method and answer what is the $myfunc(t)$.
- 3) Do inverse Fourier transform of $X(f)$ using built-in function $ifft()$. You can get $myfunc(t)$ through inverse Fourier transform. Your signal may not reconstruct exactly. If your signal reconstructs exactly write the result and analyze it.

Q 4-1

<코드>

```
t=0:0.001:1;      % x(t)의 범위  
x=myfunc(t);      % x(t) 설정  
  
figure(1)         % x(t) 그래프  
plot(t,x)
```

<결과>



-미지의 myfunc(t) 그래프이다.

Q 4-2

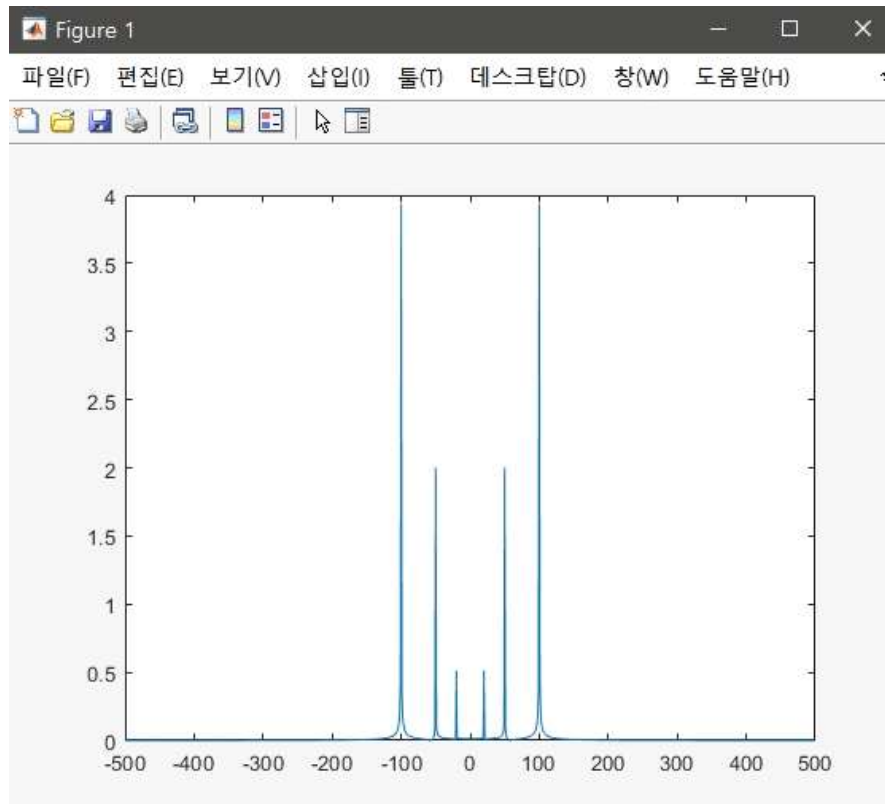
<코드>

```
fs=1000; % Sampling frequency 설정
t=0:1/fs:1; % x(t)의 범위의 범위
L=length(t); % x(t) 범위의 길이
x=myfunc(t); % x(t) 설정

X=fft(x)./L; % x(t)의 FT 및 Normalization
P=abs(fftshift(X)); % X(f) 재배열
f=linspace(-fs/2,fs/2,L); % P(f)의 범위

figure(1) % P(f) 그래프
plot(f,P)
```

<결과>



$$-X(f) = \frac{1}{2}\delta(f-20) + \frac{1}{2}\delta(f+20) + 2\delta(f-50) + 2\delta(f+50) + 4\delta(f-100) + 4\delta(f+100)$$

-Fourier Transform Theorems 중 modulation 이론에 따라

$$\frac{1}{2}\delta(f-20) + \frac{1}{2}\delta(f+20) \leftrightarrow \cos(2\pi \times 20 \times t), \quad 2\delta(f-50) + 2\delta(f+50) \leftrightarrow 4\cos(2\pi \times 50 \times t),$$

$4\delta(f-100) + 4\delta(f+100) \leftrightarrow 8\cos(2\pi \times 100 \times t)$ 이므로, myfunc(t)인 x(t)는
 $x(t) = \cos(40\pi t) + 4\cos(100\pi t) + 8\cos(200\pi t)$ 이다.

Q 4-3

<코드a>

```

fs=1000;           % Sampling frequency 설정
t=0:1/fs:1;        % x(t)의 범위의 범위
L=length(t);       % x(t) 범위의 길이
x=myfunc(t);       % x(t) 설정

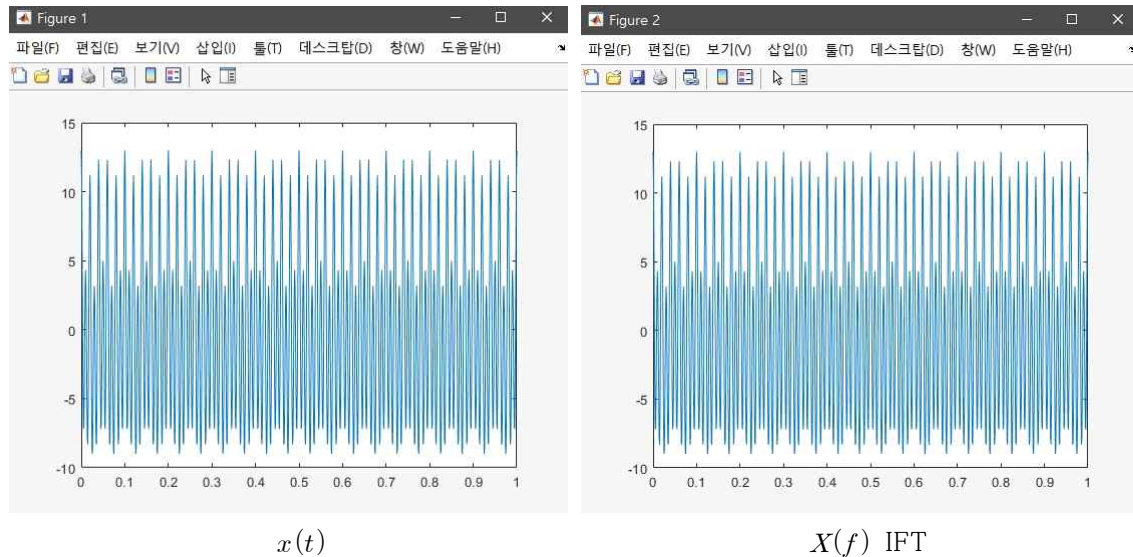
X=fft(x)./L;       % x(t)의 FT 및 Normalization
Xi=ifft(X).*L;     % X(t)의 IFT

figure(1)          % x(t) 그래프
plot(t,x)
ylim([-10 15])     % 그래프 y축 표시 제한

figure(2)          % Xi(t) 그래프
plot(t,Xi)
ylim([-10 15])     % 그래프 y축 표시 제한

```

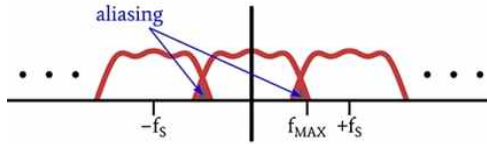
<결과a>



-본래 아날로그 함수 $x(t)$ 와 내장함수 `ifft()`를 사용하여 $X(f)$ 의 inverse laplace transform이 동일하다는 것을 확인할 수 있다.

-**Nyquist Rate:** 신호의 최고 주파수의 2배 속도를 의미한다. ($2f_{\text{max}}$)

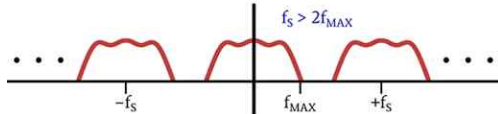
-**Shannon's Sampling Theorem:** 시스템이 Nyquist Rate을 초과하는 속도로 아날로그 신호를 균일하게 sampling하면 sampling을 통해 생성된 이산 값에서 본래 아날로그 신호를 완벽하게 복구할 수 있다.



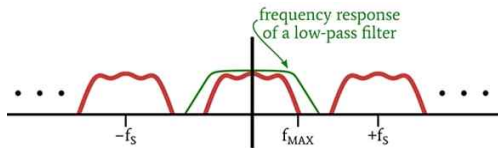
-Sampling frequency가 $2f_{\text{max}}$ 미만일 경우 subspectra가 겹치는 aliasing이 발생한다.

-Sampling 속도에 상관없이 A/D(analog to digital) 변환을 할 때마다 aliases가 생성되는데, sampling된 데이터에서 aliases가 아날로그 신호의 일부가 되면서 D/A 변환을 하면 본래 신호와 동일하지 않게 된다.

-따라서 아날로그 신호를 완벽히 복구하려면 aliasing이 발생하지 않도록 해야 한다.



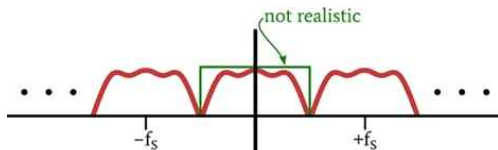
-Nyquist Rate을 초과하여 sampling을 하더라도 aliases는 여전히 존재하지만 authentic spectrum과 aliased spectra 사이에 간격이 있게 된다.



-신호의 재구성은 적절한 sampling frequency에서만 시작되며, low-pass filtering이 기본 요구사항이 된다.

-D/A 변환을 한 후 low-pass filter를 적용하여 aliases를 제거하고 본래 아날로그 신호로 복구할 수 있게 되는데, 이때 이 필터를 reconstruction filter라고 부른다.

-추가적인 내용으로, digital sampling을 통해 aliases를 제거할 수는 없으며, reconstruction filter는 anti-aliasing filter(A/D 변환 전에 적용됨)가 아니다.



-물리적 영역에서는 이상적인 수학적 영역에서처럼 brick-wall response가 나타나지 않게 된다. 따라서 효과적인 reconstruction filter를 구축하기 위해 sampling frequency를 Nyquist Rate보다 훨씬 크게 지정하는 oversampling을 사용한다.

<코드b>

```

fs1=1000; % Sampling frequency 설정1
fs2=150; % Sampling frequency 설정2
t1=0:1/fs1:1; % x1(t)의 범위
t2=0:1/fs2:1; % x2(t)의 범위
L1=length(t1); % x1(t) 범위의 길이
L2=length(t2); % x2(t) 범위의 길이
x1=myfunc(t1); % x1(t) 설정
x2=myfunc(t2); % x2(t) 설정

X1=fft(x1)/L1; % x1(t)의 FT 및 Normalization
X2=fft(x2)/L2; % x2(t)의 FT 및 Normalization
X1i=ifft(X1).*L1; % X1(f)의 IFT
X2i=ifft(X2).*L2; % X2(f)의 IFT
P1=abs(fftshift(X1)); % X1(f) 재배열
P2=abs(fftshift(X2)); % X2(f) 재배열
f1=linspace(-fs1/2,fs1/2,L1); % P1(f)의 범위
f2=linspace(-fs2/2,fs2/2,L2); % P2(f)의 범위

figure(1) % P1(t) 그래프
plot(f1,P1)

figure(2) % P2(t) 그래프
plot(f2,P2)

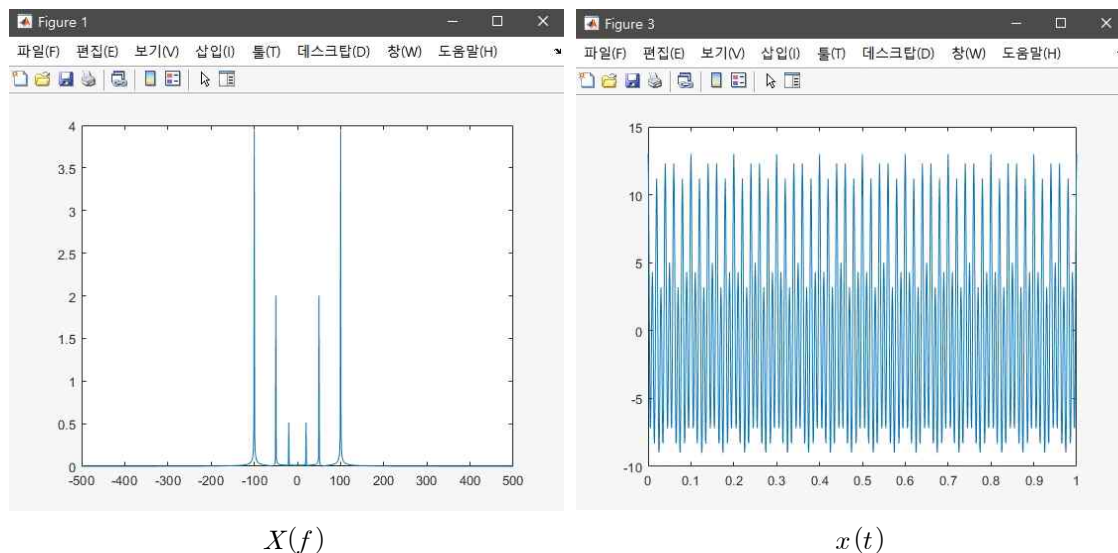
figure(3) % X1i(t) 그래프
plot(t1,X1i)

figure(4) % X2i(t) 그래프
plot(t2,X2i)

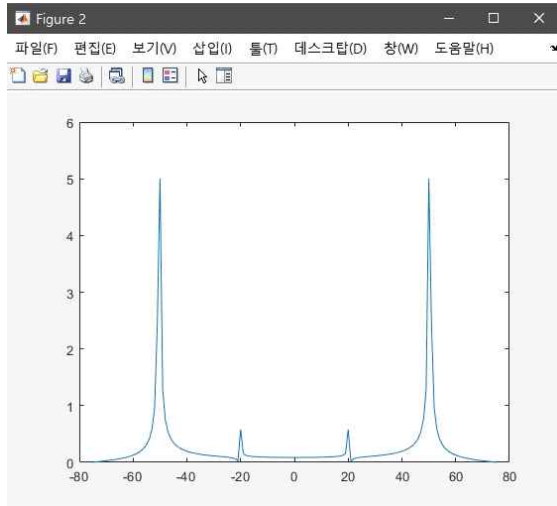
```

<결과b>

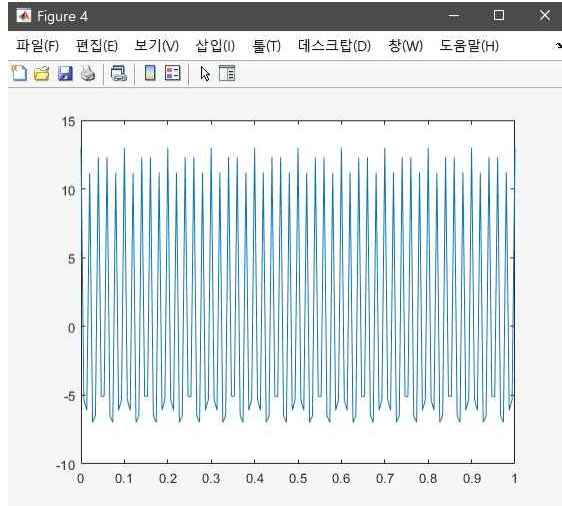
-Sampling frequency=1000



-Sampling frequency=150



$X(f)$



$x(t)$

-Sampling frequency를 Nyquist Rate인 200보다 높게 1000으로 설정했을 경우 본래 $x(t)$ 가 원래대로 복구되는 것을 확인할 수 있다.

-하지만 Sampling frequency를 Nyquist Rate인 200보다 낮게 150으로 설정한 경우 $X(f)$ 의 결과가 제대로 나타나지 않은 것을 알 수 있고, 이에 따라 본래의 $x(t)$ 가 정상적으로 복구되지 않았음을 확인할 수 있다.

참고문헌

-<https://www.allaboutcircuits.com/technical-articles/the-nyquistshannon-sampling-theorem-exceeding-the-nyquist-rate/>

Appendix

```

% Q 1-1
fs=1000;
t1=-5:1/fs:5;
f1=0.5;
L1=length(t1);
x1=cos(2*pi*f1*t1);

X1=fft(x1)./L1;
P1=abs(fftshift(X1));
f1=linspace(-fs/2, fs/2, L1);

figure(1)
plot(t1,x1)

figure(2)
plot(f1,P1)
xlim([-15 15])
ylim([0 1])

t2=-0.25:1/fs:0.25;
f2=10;
L2=length(t2);
x2=cos(2*pi*f2*t2);

X2=fft(x2)./L2;
P2=abs(fftshift(X2));
f2=linspace(-fs/2, fs/2, L2);

figure(3)
plot(t2,x2)

figure(4)
plot(f2,P2)
xlim([-300 300])
ylim([0 1])

% Q 1-2-Linearity
fs=1000;
a=1;
b=2;
t=-5:1/fs:5;
f1=0.5;
f2=10;
L=length(t);
x1=cos(2*pi*f1*t);
x2=cos(2*pi*f2*t);
x=a*x1+b*x2;

X1=fft(x1)./L;
P1=abs(fftshift(X1));
X2=fft(x2)./L;
P2=abs(fftshift(X2));
X=fft(x)./L;
PX=abs(fftshift(X));
f=linspace(-fs/2, fs/2, L);

figure(1)
plot(f,PX)
xlim([-30 30])
ylim([0 1])

figure(2)
plot(f,a*P1+b*P2)
xlim([-30 30])
ylim([0 1])

% Sampling frequency 설정
% x1(t)의 범위
% f1=0.5Hz 설정
% x1(t) 범위의 길이
% x1(t) 설정

% x1(t)의 FT 및 Normalization
% X1(f) 재배열
% P1(f)의 범위

% x1(t) 그래프

% P1(f) 그래프

% 그래프 x축 표시 제한
% 그래프 y축 표시 제한

% x2(t)의 범위
% f2=10Hz 설정
% x2(t) 범위의 길이
% x2(t) 설정

% x2(t)의 FT 및 Normalization
% X2(f) 재배열
% P2(f)의 범위

% x2(t) 그래프

% P2(f) 그래프

% 그래프 x축 표시 제한
% 그래프 y축 표시 제한

% 상수a=1 설정
% 상수b=2 설정
% x1(t), x2(t)의 범위
% f1=0.5Hz 설정
% f2=10Hz 설정
% x1(t), x2(t) 범위의 길이
% x1(t) 설정
% x2(t) 설정
% x(t)=ax1(t)+bx2(t) 설정

% x1(t)의 FT 및 Normalization
% X1(f) 재배열
% x2(t)의 FT 및 Normalization
% X2(f) 재배열
% x(t)의 FT 및 Normalization
% X(f) 재배열
% P1(f), P2(f), PX(f)의 범위

% PX(f) 그래프

% 그래프 x축 표시 제한
% 그래프 y축 표시 제한

% aP1(f)+bP2(f) 그래프

% 그래프 x축 표시 제한
% 그래프 y축 표시 제한

```

```

% Q 1-2-Scale Change
fs1=1000;
fs2=100;
a=10;
f=0.5;
t1=-5:1/fs1:5;
t2=-5:1/fs2:5;
L1=length(t1);
L2=length(t2);
x=cos(2*pi*f*t1);
xa=cos(2*pi*a*f*t2);

X=fft(x)./L1;
PX=abs(fftshift(X));
f1=linspace(-fs1/2, fs1/2, L1);
XA=fft(xa)./L1;
PXA=abs(fftshift(XA));
f2=linspace(-fs2/2, fs2/2, L2);

figure(1)
plot(f2,PXA)
xlim([-50 50])
ylim([0 0.1])

figure(2)
plot(f1.*a,PX./a)
xlim([-50 50])
ylim([0 0.1])

% Sampling frequency 설정1
% Sampling frequency 설정2
% 상수a=10 설정
% f=0.5Hz 설정
% x(t)의 범위
% xa(t)의 범위
% x(t) 범위의 길이
% xa(t) 범위의 길이
% x(t) 설정
% xa(t) 설정

% x(t)의 FT 및 Normalization
% X(f) 재배열
% PX(f)의 범위
% xa(t)의 FT 및 Normalization
% XA(f) 재배열
% PXA(f)의 범위

% PXA(f) 그래프

% 그래프 x축 표시 제한
% 그래프 y축 표시 제한

% PX(f/a)/a 그래프

% 그래프 x축 표시 제한
% 그래프 y축 표시 제한

```

```

% Q 2-1
fs=1000;
t=-5:1/fs:5;
L=length(t);
x=sinc(t);

X=fft(x)/fs;
P=abs(fftshift(X));
f=linspace(-fs/2, fs/2, L);

figure(1)
plot(t,x)

figure(2)
plot(f,P)
xlim([-4 4])
ylim([0 1.5])

% Sampling frequency 설정
% x(t)의 범위
% x(t) 범위의 길이
% x(t) 설정

% x(t)의 FT 및 Normalization
% X(f) 재배열
% P(f)의 범위

% x(t) 그래프

% P(f) 그래프

% 그래프 x축 표시 제한
% 그래프 y축 표시 제한

```

```

% Q 2-2-Modulation
fs=1000;
f0=10;
t=-5:1/fs:5;
L=length(t);
x=sinc(t);
xc=x.*cos(2*pi*f0*t);

X=fft(x)/fs;
P=abs(fftshift(X));
XC=fft(xc)/fs;
PC=abs(fftshift(XC));
f=linspace(-fs/2, fs/2, L);

figure(1)
plot(f,PC)
xlim([-50 50])
ylim([0 1.5])

figure(2)
plot(f-f0,P./2)
hold on
plot(f+f0,P./2)
xlim([-50 50])
ylim([0 1.5])

```

% Sampling frequency 설정
 % f0=10Hz 설정
 % x(t)의 범위
 % x(t) 범위의 길이
 % x(t) 설정
 % xc(t) 설정
 % x(t)의 FT 및 Normalization
 % X(f) 재배열
 % xc(t)의 FT 및 Normalization
 % XC(f) 재배열
 % P(f), PC(f)의 범위
 % PC(f) 그래프
 % 그래프 x축 표시 제한
 % 그래프 y축 표시 제한
 % P(f-f0)/2+P(f+f0)/2 그래프
 % P(f-f0)/2
 % P(f+f0)/2
 % 그래프 x축 표시 제한
 % 그래프 y축 표시 제한

```

% Q 2-2-Scale Change
fs1=1000;
fs2=500;
a=2;
t1=-5:1/fs1:5;
t2=-5:1/fs2:5;
L1=length(t1);
L2=length(t2);
x=sinc(t1);
xa=sinc(a*t2);

X=fft(x)/fs1;
PX=abs(fftshift(X));
f1=linspace(-fs1/2, fs1/2, L1);
XA=fft(xa)/fs2;
PXA=abs(fftshift(XA));
f2=linspace(-fs2/2, fs2/2, L2);

figure(1)
plot(f2,PXA)
xlim([-10 10])
ylim([0 1])

figure(2)
plot(f1.*a,PX./a)
xlim([-10 10])
ylim([0 1])

```

% Sampling frequency 설정1
 % Sampling frequency 설정2
 % 상수a=2 설정
 % x(t)의 범위
 % xa(t)의 범위
 % x(t) 범위의 길이
 % xa(t) 범위의 길이
 % x(t) 설정
 % xa(t) 설정
 % x(t)의 FT 및 Normalization
 % X(f) 재배열
 % PX(f)의 범위
 % xa(t)의 FT 및 Normalization
 % XA(f) 재배열
 % PXA(f)의 범위
 % PXA(f) 그래프
 % 그래프 x축 표시 제한
 % 그래프 y축 표시 제한
 % PX(f/a)/a 그래프
 % 그래프 x축 표시 제한
 % 그래프 y축 표시 제한

```
% Q 3-1-1
syms t
u=heaviside(t);      % u(t) 설정
U=laplace(u);         % U(f) 설정

figure(1)             % u(t) 그래프
fplot(u)

figure(2)             % U(f) 그래프
fplot(U)
```

```
% Q 3-1-2
syms t
y=(exp(t)+exp(-5*t)-2*cos(2*t))*heaviside(t); % y(t) 설정
Y=laplace(y);         % Y(f) 설정

figure(1)             % y(t) 그래프
fplot(y)

figure(2)             % Y(f) 그래프
fplot(Y)
```

```
% Q 3-2-1
syms t
vc=(1-exp(-t))*heaviside(t); % vc(t) 설정

figure(1)             % vc(t) 그래프
fplot(vc)
```

```
% Q 3-2-2
syms t
h=exp(-t)*heaviside(t); % h(t) 설정
H=tf([1],[1 1]);        % H(s) 설정

figure(1)             % h(t) 그래프
fplot(h)

figure(2)             % H(s) bode plot
bode(H)
```

```
% Q 3-2-3
H=tf([1],[1 1]); % H(s)=1/(s+1) 설정
pzmap(H)         % H(s) pole-zero plot
grid on
```

```

% Q 4-1
t=0:0.001:1;      % x(t)의 범위
x=myfunc(t);      % x(t) 설정

figure(1)         % x(t) 그래프
plot(t,x)

```

```

% Q 4-2
fs=1000;          % Sampling frequency 설정
t=0:1/fs:1;      % x(t)의 범위
L=length(t);     % x(t) 범위의 길이
x=myfunc(t);     % x(t) 설정

X=fft(x)/L;       % x(t)의 FT 및 Normalization
P=abs(fftshift(X)); % X(f) 재배열
f=linspace(-fs/2,fs/2,L); % P(f)의 범위

figure(1)         % P(f) 그래프
plot(f,P)

```

```

% Q 4-3-a
fs=1000;          % Sampling frequency 설정
t=0:1/fs:1;      % x(t)의 범위
L=length(t);     % x(t) 범위의 길이
x=myfunc(t);     % x(t) 설정

X=fft(x)/L;       % x(t)의 FT 및 Normalization
Xi=ifft(X).*L;    % X(t)의 IFT

figure(1)         % x(t) 그래프
plot(t,x)
ylim([-10 15])    % 그래프 y축 표시 제한

figure(2)         % Xi(t) 그래프
plot(t,Xi)
ylim([-10 15])    % 그래프 y축 표시 제한

```



```

% Q 4-3-b
fs1=1000;
fs2=150;
t1=0:1/fs1:1;
t2=0:1/fs2:1;
L1=length(t1);
L2=length(t2);
x1=myfunc(t1);
x2=myfunc(t2);

X1=fft(x1)./L1;
X2=fft(x2)./L2;
X1i=ifft(X1).*L1;
X2i=ifft(X2).*L2;
P1=abs(fftshift(X1));
P2=abs(fftshift(X2));
f1=linspace(-fs1/2,fs1/2,L1);
f2=linspace(-fs2/2,fs2/2,L2);

figure(1)
plot(f1,P1)

figure(2)
plot(f2,P2)

figure(3)
plot(t1,X1i)

figure(4)
plot(t2,X2i)

% Sampling frequency 설정1
% Sampling frequency 설정2
% x1(t)의 범위
% x2(t)의 범위
% x1(t) 범위의 길이
% x2(t) 범위의 길이
% x1(t) 설정
% x2(t) 설정

% x1(t)의 FT 및 Normalization
% x2(t)의 FT 및 Normalization
% X1(f)의 IFT
% X2(f)의 IFT
% X1(f) 재배열
% X2(f) 재배열
% P1(f)의 범위
% P2(f)의 범위

% P1(t) 그래프

% P2(t) 그래프

% X1i(t) 그래프

% X2i(t) 그래프

```